

Integration thermoelastisch gekoppelter diskreter Systeme

Motivation

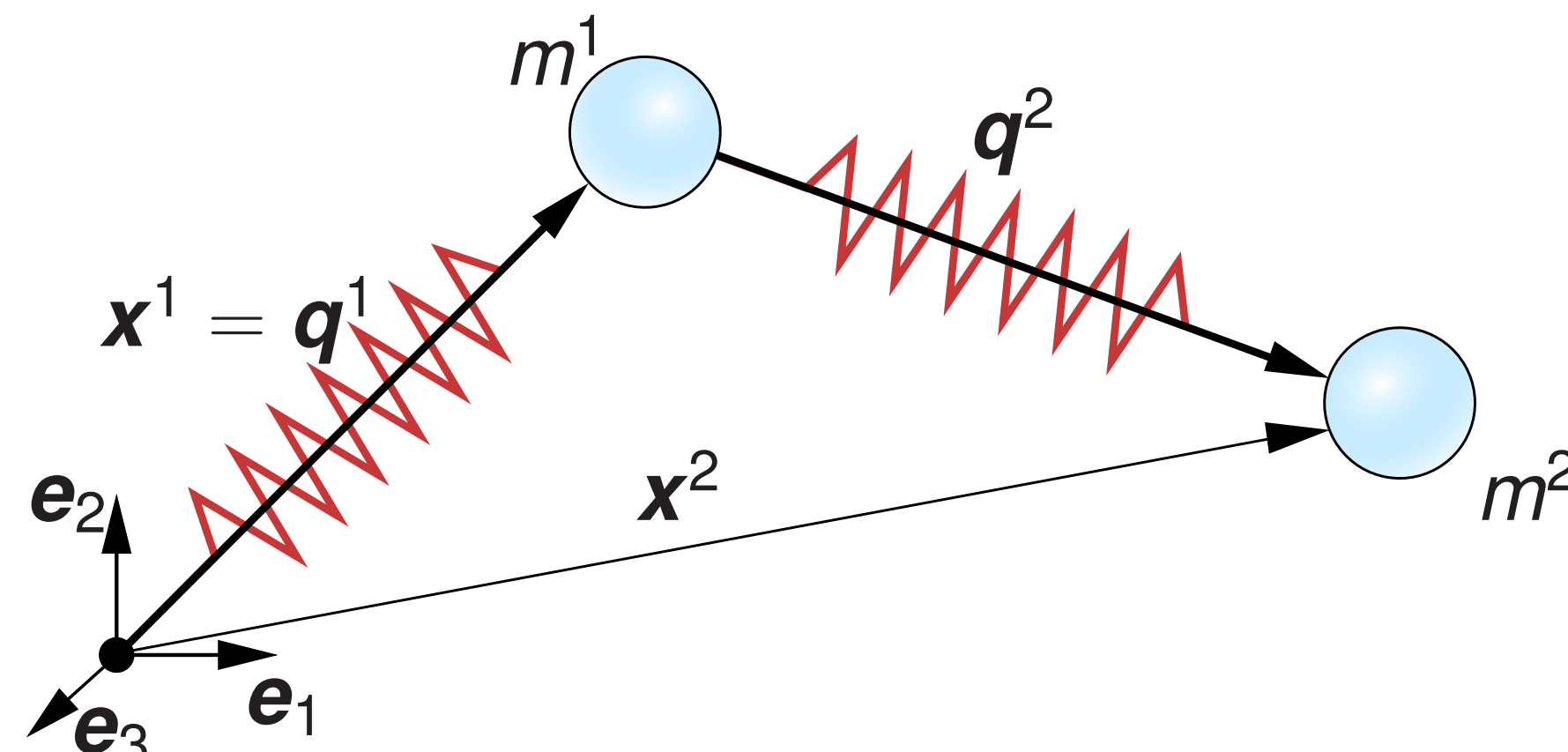
Zeitliche Diskretisierung von thermoelastisch gekoppelten diskreten Systemen

Anforderungen an die Integratoren

- Stabilität
- Erhaltung der physikalischen Struktur
- Vergleich von Entropie- und Temperaturformulierung
- Entropieformulierung nach Krüger et al. (2011)
- Dirichlet-Randbedingung des thermischen Feldes meist in Temperaturvariablen gegeben
- Temperaturformulierung intuitiver
- thermoelastisch gekoppeltes Doppelpendel als Modellproblem

Thermoelastisch gekoppeltes Doppelpendel

Hamiltonische Beschreibung des Doppelpendels



Bestandteile

- Massenpunkte m^α , $\alpha = 1, 2$
 - Freie Energiefunktionen ψ^α der Federelemente
- $$\Psi^\alpha(c^\alpha, \theta^\alpha) = \frac{K^\alpha}{2} \log^2\left[\frac{\lambda^\alpha}{\lambda_0^\alpha}\right] - \beta^\alpha \theta^\alpha \log\left[\frac{\lambda^\alpha}{\lambda_0^\alpha}\right] + k^\alpha \left[\theta^\alpha - \theta^\alpha \log\left[\frac{\theta^\alpha}{\theta_\infty^\alpha}\right] \right]$$
- $$= \Psi_{mech}^\alpha(c^\alpha) + \Psi_{coup}^\alpha(c^\alpha, \theta^\alpha) + \Psi_{therm}^\alpha(\theta^\alpha)$$

Beschreibung

- Gesamtenergiefunktion

$$H(\mathbf{q}, \mathbf{p}, \theta) = T(\mathbf{p}) + E(\mathbf{q}, \theta)$$

- Gesamtentropiefunktion

$$S(\mathbf{q}, \theta)$$

- Zustandsvektor

$$\mathbf{z} = \langle \mathbf{q}, \mathbf{p}, \theta \rangle$$

- Evolutionsgleichungen

$$\begin{aligned} \dot{\mathbf{q}}^i &= \frac{\partial H}{\partial \mathbf{p}^i} \\ \dot{\mathbf{p}}^i &= -\frac{\partial \Psi^i}{\partial \mathbf{q}^i} \\ \dot{\theta}^i &= [\frac{\partial E^i}{\partial \theta^i}]^{-1} [\kappa(\theta^j - \theta^i) - \theta^i \frac{\partial S^i}{\partial \lambda^i} \dot{\lambda}^i], \quad j \neq i, \quad i = 1, 2 \end{aligned}$$

GENERIC Formalismus

General Equation for Non-Equilibrium Reversible-Irreversible Coupling (GENERIC)

- AWP in Matrix-Vektor Schreibweise

$$\dot{\mathbf{z}} = \mathbb{L}(\mathbf{z}) \cdot \nabla H(\mathbf{z}) + \mathbb{M}(\mathbf{z}) \cdot \nabla S(\mathbf{z})$$

$$\mathbf{z}(t_0) = \mathbf{z}_0$$

$$\mathbb{L} = -\mathbb{L}^T, \quad \mathbb{M} = \mathbb{M}^T \text{ und pos. def.}$$

- Degenerierungsbedingungen → Erhaltung physikalischer Eigenschaften:

$$\mathbb{L} \cdot \nabla S = \mathbb{M} \cdot \nabla H = \mathbf{0}$$

Folgerungen

- Energiebilanz:

$$\dot{H} = \nabla H \cdot \dot{\mathbf{z}} = \nabla H \cdot (\mathbb{L} \cdot \nabla H + \mathbb{M} \cdot \nabla S) = 0$$

- Entropiebilanz:

$$\dot{S} = \nabla S \cdot \dot{\mathbf{z}} = \nabla S \cdot \mathbb{M} \cdot \nabla S \geq 0$$

Thermodynamically consistent Integrator (TC)

- Gewährleistet die Konsistenz mit dem 1. und 2. Hauptsatz der Thermodynamik
- Konzept der G-äquivarianten partitionierten diskreten Gradienten

$$\frac{\mathbf{z}_{n+1} - \mathbf{z}_n}{\Delta t} = \mathbb{L}(\mathbf{z}_{n+1}, \mathbf{z}_n) \cdot DH(\mathbf{z}_{n+1}, \mathbf{z}_n) + \mathbb{M}(\mathbf{z}_{n+1}, \mathbf{z}_n) \cdot DS(\mathbf{z}_{n+1}, \mathbf{z}_n)$$

- Reparametrisierung mit Rotationsinvarianten $\pi(\mathbf{q}, \mathbf{p}, \theta)$

$$H(\mathbf{q}, \mathbf{p}, \theta) = \bar{H}(\pi(\mathbf{q}, \mathbf{p}, \theta))$$

$$S(\mathbf{q}, \theta) = \bar{S}(\pi(\mathbf{q}, \mathbf{p}, \theta))$$

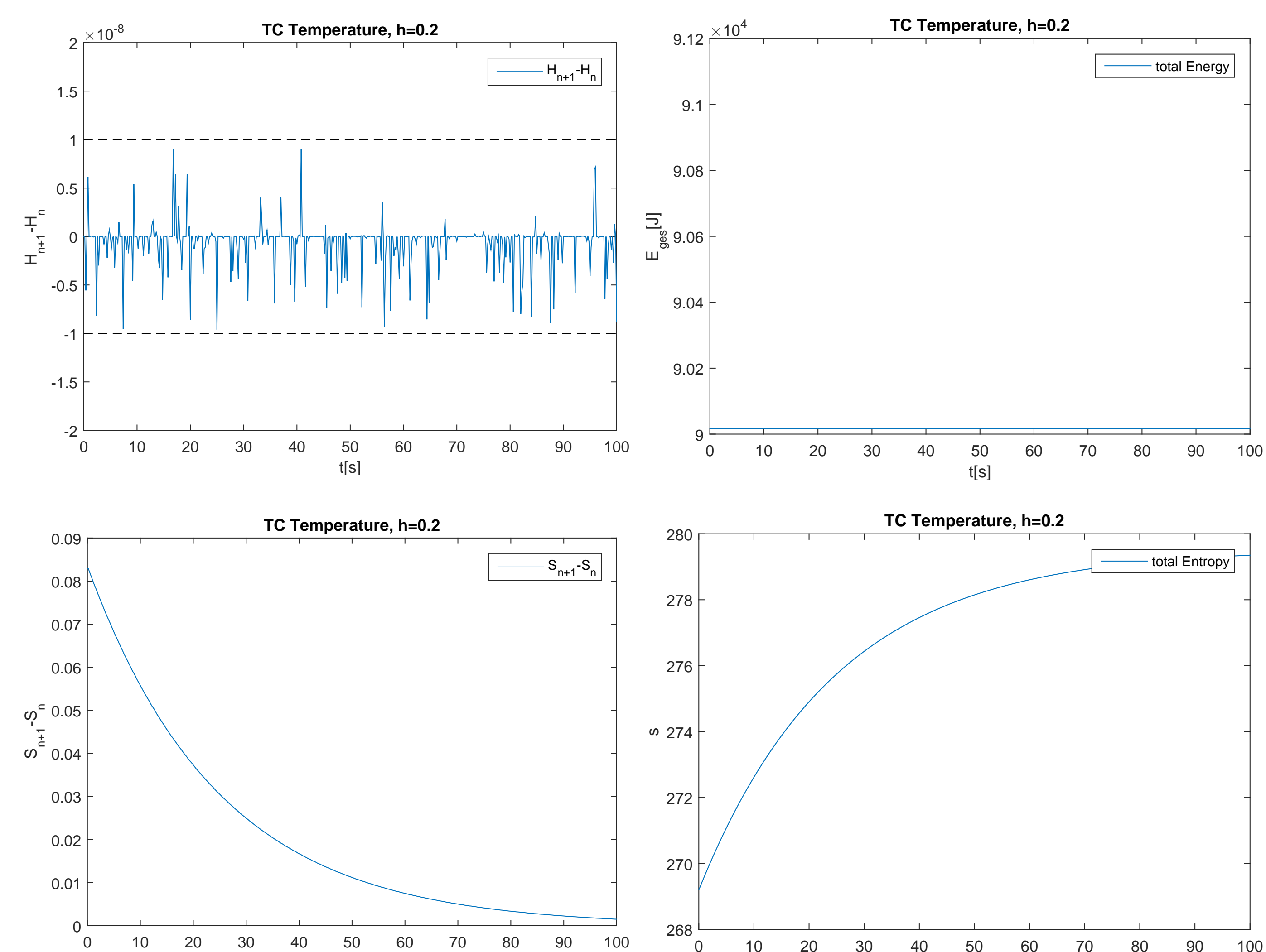
- Anwendung der Kettenregel

$$DH(\mathbf{z}_{n+1}, \mathbf{z}_n) = \bar{D}\bar{H}(\pi_{n+1}, \pi_n) \cdot \nabla \pi(\mathbf{z}_{n+1/2})$$

$$DS(\mathbf{z}_{n+1}, \mathbf{z}_n) = \bar{D}\bar{S}(\pi_{n+1}, \pi_n) \cdot \nabla \pi(\mathbf{z}_{n+1/2})$$

Numerische Beispiele

Numerische Beispiele aus Krüger et al. (2011) mit Abbruchkriterium basierend auf der Bilanzierung der diskreten Energiedifferenz des Systems



Referenzen

- Krüger, M., Groß, M., and Betsch, P. (2011). A comparison of structure-preserving integrators for discrete thermoelastic systems. *Computational Mechanics*, 47(6):701–722.
- Romero, I. (2009). Thermodynamically consistent time-stepping algorithms for non-linear thermomechanical systems. *International journal for numerical methods in engineering*, 79(6):706–732.